

埼玉大学 理工学部 ○ 中村 広昭
今 鳩 祐元

はじめに 最近では、直径が30mを超えるような大型の水道あるいは石油タンクの建設が計画されるようになってきた。この場合水面の第一次共振周期は6~7秒前後となり、地震波の特性(S波あるいは表面波)によつては水槽水面の動搖が甚しくなるおそれがあるために、構造設計上の特別の考慮を払う必要が生じている。すなわち、水槽水面の共振周期は無数にあるとしても、低次の共振時には振幅の増加とともに水槽にかかる偏圧が著しくなること、および低次の共振時ほど内部粘性による減衰効果が少いため振幅自体が増大する可能性が強いこと等の理由によるものである。

本研究は上記の問題に対処するための基礎的な考察を行なうため、まず円形水槽水面の動搖に関する周波数特性の理論と実験との対比を行ない、次に水槽内に表-1に示すような各種工作物を設けた場合、水面の動搖に対するどのような防止効果が期待できるかについて実験的考察を行なったものである。

1) 円形水槽水面の動搖特性

(a) 水面の共振特性 図-1に示すように、静止水面上に円筒座標系を設定すれば、粘性を無視した場合速度ポテンシャル φ の満足すべき条件式は、周知のように次式で示される。

$$\frac{\partial^2 \varphi}{\partial r^2} + \frac{1}{r} \frac{\partial \varphi}{\partial r} + \frac{1}{r^2} \frac{\partial^2 \varphi}{\partial \theta^2} + \frac{\partial^2 \varphi}{\partial z^2} = 0 \quad \dots (1)$$

いま $z = -h$, $\frac{\partial \varphi}{\partial z} = 0$
 $r = a$, $\frac{\partial \varphi}{\partial r} = A v \cos vt \cdot \cos \theta$
 $z = 0$, $\frac{\partial \varphi}{\partial z} + \frac{1}{g} \frac{\partial^2 \varphi}{\partial t^2} = 0$

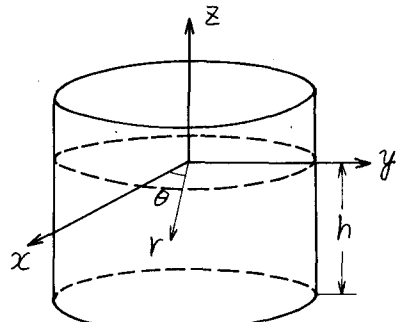


図-1 水槽の座標系

を満足する解(z 方向に水槽壁面の変位が $A \sin vt$ で与えられる場合)は、千田・中川により次式のように示されている。

$$\varphi = A v \cos vt \cos \theta \left\{ r + \sum_{m=1}^{\infty} J_1 \left(\frac{\lambda_m r}{a} \right) \cosh \frac{\lambda_m (z+h)}{a} \times \frac{2 v^2}{J_1(\lambda_m) \cdot (\lambda_m^2 - 1) \cdot (n_m^2 - v^2) \cosh \frac{\lambda_m h}{a}} \right\} \quad (3)$$

こゝに $n_m^2 = \frac{\lambda_m g}{a} \tanh \frac{\lambda_m h}{a}$, $J_1'(\lambda_m) = 0$ $\dots \dots \dots (4)$

水面の変位を η とすれば

$$\eta = -\frac{1}{g} \left(\frac{\partial \varphi}{\partial t} \right)_{z=0} = \frac{A v^2}{g} \sin vt \cos \theta \left\{ r + \sum_{m=1}^{\infty} \frac{2 a v^2 J_1 \left(\frac{\lambda_m r}{a} \right)}{J_1(\lambda_m) \cdot (\lambda_m^2 - 1) \cdot (n_m^2 - v^2)} \right\} \quad (5)$$

(b) 実験結果との比較 (4) および (5) で示された水面動搖の周波数特性を検証するため、振動台(島津サーボペルサ: EHV-05105)上に水槽(内径 $2a = 72cm$)を設置し、水面の共振特性を調べた。写真-1はその状況を示すものであり、壁面附近に電気的水位計を置き水面の動搖を記録している。

図-2は、水深 $h = 40cm$ 、振幅 $2A = 1cm$ の場合の共振特性に関する理論と実験結果との対比を示すものである。この図より以下の事項が指摘される。
①; 低周波($2.5Hz$ 以下)では両者は極めて良く一致する。

② 周波数が大きくなると、減衰効果が現われたためか、完全な共振あるいは振幅零の状態は記録し難くなる。
③ 全般的に、共振周期は良く一致するが、とくに振幅増加の顕著な領域は $1 \sim 2Hz$ 附近と $3.5 \sim 4.5Hz$ 附近に現われる。

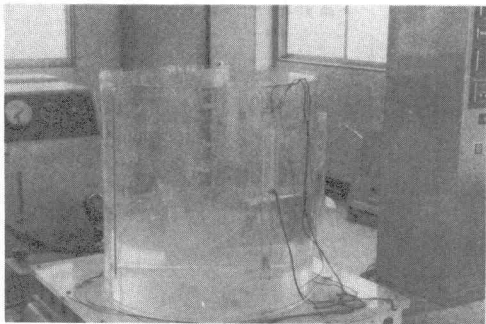


写真-1 実験状況

前記理論は、 y 軸を $\gamma = 0$ とする水面の動搖を示しているが、オ1次共振点 1.12 Hz をやゝ超えると、実際の水面の振動には x 軸の回りの回転運動が発達する。

この事は、振動台のきわめてわずかな偏心作動に起因するものと思われるが、回転運動として生長することとは実験的事実として注目に値することと思われる。

2) 水面動搖の防止効果に関する実験

水槽内に同心の円筒を設置し、内部円筒の直径、円筒にあけた孔径、円筒の上下位置および平均水深を表-1に示すように変化させた場合、振動台振幅を一定とし、それぞれについて共振特性を調べることにより、各種工作物の水面動搖に対する防止効果を検討した。なお、このよ

うな工作物が動搖防止に効果的であると考えられる理由は次のような点である。①内部円筒の多くの孔が流体抵抗を与える減衰要素として働くこと。

②隔壁を設けることにより、振幅が減少すること。

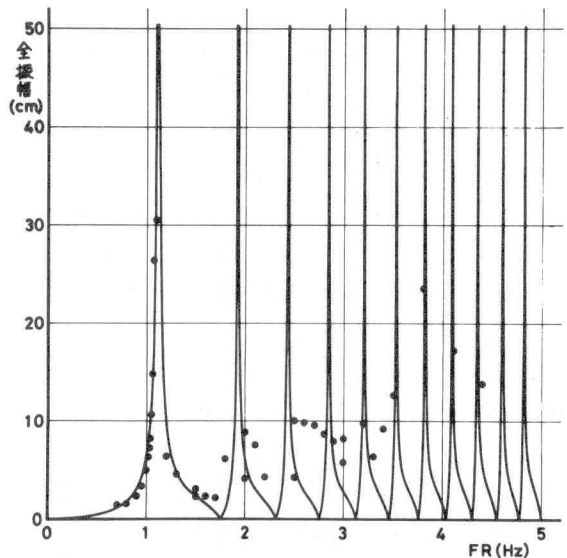
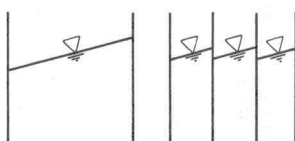


図-2 円形水槽水面の共振特性

表-1 内部円筒の種類および分類記号

条件	記 号 等			
円筒なし	χ			
円筒下(底面は一致)	α			
円筒上(底面誤12cm上)	β			
円筒の大小	A (大)	B (小)	C (中)	D (孔なし)
円筒の直径(cm)	34	22		
円筒の側面積(cm ²)	7916.8	5066.8		
横方向の孔の数(約3cm間隔)	32	20		
縦方向の孔の数(3cm間隔)	24	24		
孔の全個数	768	480		
孔の種類	a(大) b(中) c(小) d(孔なし)	a(大) b(中) c(小) d(孔なし)	a(大) b(中) c(小) d(孔なし)	a(大) b(中) c(小) d(孔なし)
孔の直径(cm)	2.6 1.4 0.8 0	2.6 1.4 0.8 0	2.6 1.4 0.8 0	2.6 1.4 0.8 0
空隙率 (%)	51.5 14.9 4.87 0	50.3 14.6 4.76 0	50.3 14.6 4.76 0	50.3 14.6 4.76 0
水槽水深(cm)	30	40	50	

注: 孔の個数及び位置は直径の大小によって変化せず

③共振周波数が増加し、それだけ粘性減衰が期待されること。

図-3は、1例として $A\alpha x$ および Adx の内部円筒を設置した場合の共振特性を示したものである。この図より、先ず内部円筒のない場合に比して孔数多くの共振点が実験的には現われないことが知られる。すなわち、 $1 \sim 2\text{ Hz}$ 附近では1のピークが現われ、 $3 \sim 5\text{ Hz}$ 附近では2のピークが現われる。以後は前者をオ1次共振点附近、後者をオ2次共振点附近と呼ぶこととする。次に Adx は内部円筒により完全に水槽の内外が遮断されているため、厳密な意味でのオ1次共振周波数は Adx のそれよりも大きくなる。したがって、図-4においてはこの周波数における最大振幅は Adx とし、 Adx (1 Hz 前後)のものと区別して示すこと

にしていく。

図-3は第1次共振点附近で得られた最大全振幅を、設置した内部円筒の種類、円筒の上下位置、平均水深ごとにプロットし、内部円筒を設置しなかった場合の最大全振幅と比較したものである。

図-4は第2次共振点附近で得られた最大全振幅について同様なプロットを行なったものである。

これらの図より、内部円筒の動搖防止効果について、以下の事項が指摘される。

①：第1次共振点附近では、 $A_{b\alpha}$ が最も水面の防止効果が優れ、設置しない場合に比し振幅は1/4.5となる。②：内部円筒の直径に関しても大きい方が効果的であり、前述の回転運動も起り難い。③：内部円筒の上下位置に関しては、円筒を底面まで付けた方が、わずかに効果的である。④：水槽の平均水深が大きい程、最大振幅は上昇する。⑤：内部円筒の大きい場合には、孔径が小さいと1Hz附近より2Hz附近の最大振幅が大きくなり、内部円筒の径の小さい場合には逆の傾向になる。

⑥：第2次共振点附近では、全般的に第1次共振点附近の動搖防止効果に対する防止効果は顕著ではない。それでも最大振幅は0.6~0.7位に減少させることが出来る。⑦：すべての実験条件を通じて、最も効果的な内部円筒の型式は $A_{b\alpha}$ あるいは $A_{b\beta}$ である。

水槽の構造設計上、最も偏重のかかるのは第1次共振点附近であるので、こしに付しては $A_{c\alpha}$ は十分その機能を発揮しているものと見なされる。一方、第2次共振点附近では、短かい波長の波が円周方向に相互に反対方向に伝わり、両者の衝突によって波高が瞬時に高くなる性質を持つ。これに対しては、天井の付根に波返しを設けるか、天井の構造を工夫するかの対策を施すことが考えられる。あるいは、円周方向に直角にいくつかの隔壁を設けることにより、動搖を防止することが考えられるが、この点についてはさらに実験を進めつつある。

本研究を実施するにあたって、文部省科学研修費、(一般研究A代表者岡本錦三教授)の補助を受けた。また、実験および計算にあたり林計佐道技官および名倉直行、海老名行男氏ならびに大成建設設計部より多大の協力を得たので、この機会に関係各位に謝意を表する次第である。

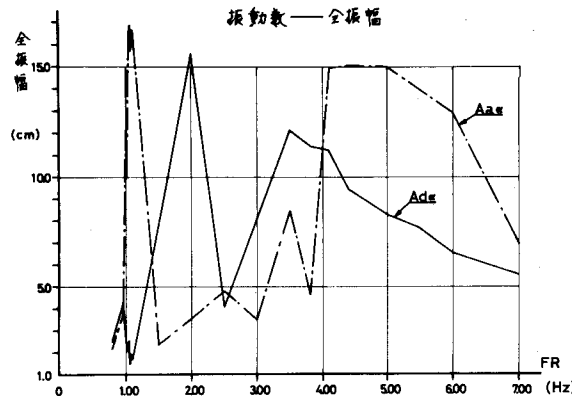


図-3 内部円筒を設置した時の共振特性

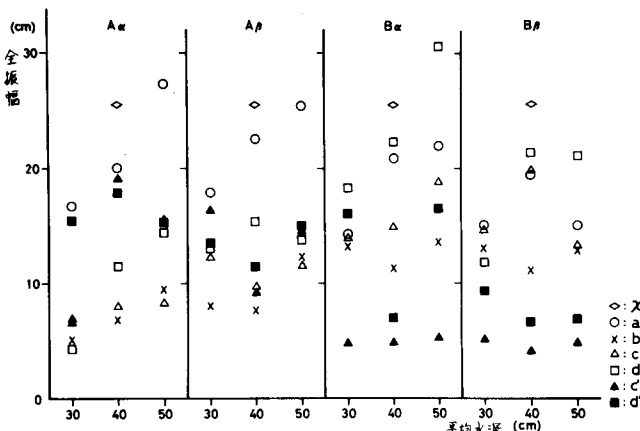


図-4 第1次共振点附近の全振幅と内部円筒との関係

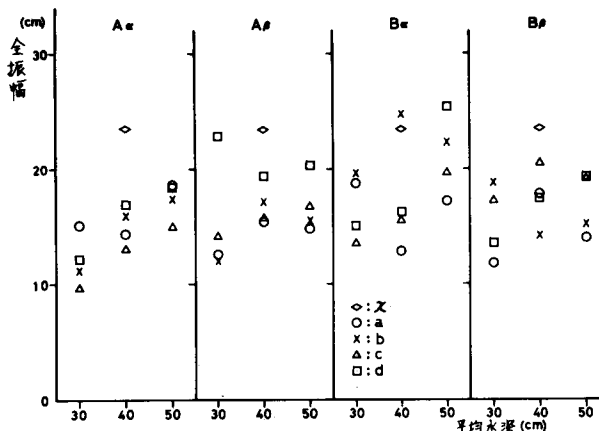


図-5 第2次共振点附近の全振幅と内部円筒との関係